

# DETERMINATION OF ACCURACY OF NORMAL GRAVITY FIELD PARAMETERS

---

Marcel Mojzeš, Blažej Bucha

Slovenská technická univerzita v Bratislave

Radlinského 11, 813 68 Bratislava

# MOTIVÁCIA (1)

- Poruchové parametre tiažového poľa Zeme:

$$\{T, \delta g, \Delta g\}_P, P \in \text{povrch Zeme}$$

- Poruchový potenciál

$$T(P) = W(P) - U(P)$$

- Vektor poruchového tiažového zrýchlenia

$$\delta \mathbf{g}(P) = \mathbf{g}(P) - \boldsymbol{\gamma}(P)$$

- Porucha tiažového zrýchlenia

$$\delta g(P) = g(P) \cos(n, n^E) - \gamma(P) \doteq g(P) - \gamma(P)$$

$$\cos(n, n^E) \doteq 1, \text{ max. chyba } 20 \mu\text{Gal}$$

# MOTIVÁCIA (2)

- Klasické riešenie bolo založené na vektoroch anomálií tiažového zrýchlenia

$$\Delta \mathbf{g} = \mathbf{g}(P) - \boldsymbol{\gamma}(Q)$$

- Nejednoznačnosť určenia  $\boldsymbol{\gamma}(Q)$  na teluroide, v dôsledku rôznych výšok mareografov (variácia až 2 m, Burša a kol. 2000), t.j. 0.6 mGal,
- **!SYSTEMATICKÁ CHYBA PRI HOMOGENIZÁCII ÚDAJOV!**

# MOTIVÁCIA (3)

- Anomália tiažového zrýchlenia

$$\Delta g = g(P) \cos(n, n^E) - \gamma(Q)$$

$$\Delta g \doteq g(P) - \gamma(Q),$$

$$\textit{pretože} \cos(n, n^E) \doteq 1$$

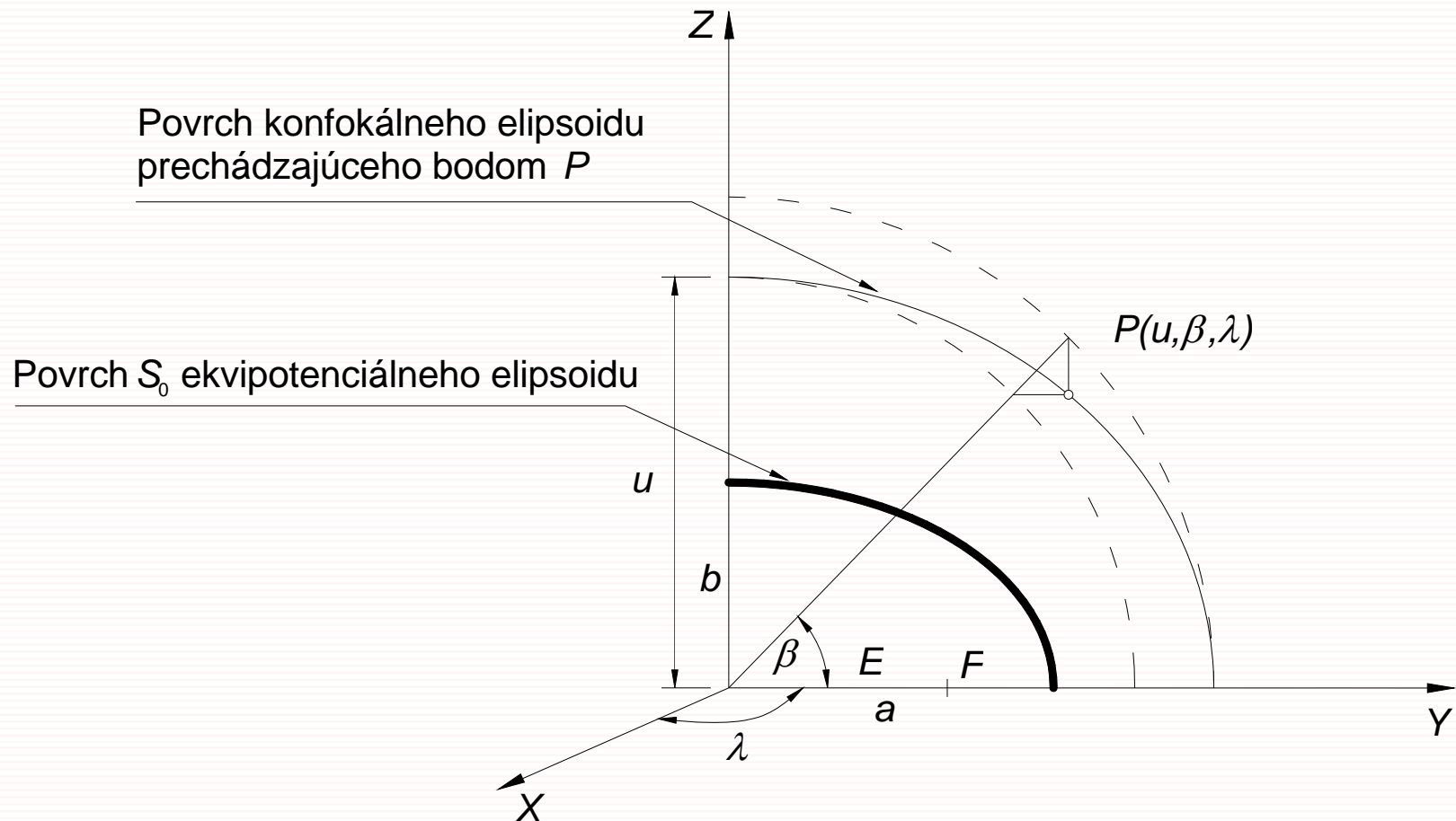
# CIEĽ PRÍSPEVKU

- Analyzovať vplyv chýb v určení polohy bodu  $P(\hat{X}, \hat{Y}, \hat{Z})$  na fyzikálne parametre  $U(P)$  a  $\gamma(P)$  ako funkcie

$$\sigma_U(P) = f_U(GM, \omega, J_{2,0}, a; \hat{X}, \hat{Y}, \hat{Z}; \sigma_X, \sigma_Y, \sigma_Z)$$

$$\sigma_\gamma(P) = f_\gamma(GM, \omega, J_{2,0}, a; \hat{X}, \hat{Y}, \hat{Z}; \sigma_X, \sigma_Y, \sigma_Z)$$

# NORMÁLNY TIAŽOVÝ POTENCIÁL



- Elipsoidické harmonické súradnice bodu  $P$ :  $P(u, \beta, \lambda)$

# NORMÁLNY TIAŽOVÝ POTENCIÁL

- Normálny tiažový potenciál na povrchu ekvipotenciálneho elipsoidu je daný vzťahom:

$$U_0 = \frac{GM}{E} \arctan\left(\frac{E}{b}\right) + \frac{\omega^2}{3} a^2 = f(GM, \omega, a, b)$$

- Normálny tiažový potenciál v bode  $P$  mimo povrchu ekvipotenciálneho elipsoidu je daný vzťahom:

$$U(u, \beta) = \frac{GM}{E} \arctan\left(\frac{E}{u}\right) + \frac{1}{2} \omega^2 a^2 \frac{q}{q_0} \left(\sin^2 \beta - \frac{1}{3}\right) + \frac{1}{2} \omega^2 (u^2 + E^2) \cos^2 \beta$$

kde

$$q = \frac{1}{2} \left[ \left( 1 + 3 \frac{u^2}{E^2} \right) \arctan \frac{E}{u} - 3 \frac{u}{E} \right]$$

$$q_0 = \frac{1}{2} \left[ \left( 1 + 3 \frac{b^2}{E^2} \right) \arctan \frac{E}{b} - 3 \frac{b}{E} \right]$$

# VEKTOR NORMÁLNEHO TIAŽOVÉHO ZRÝCHLENIA

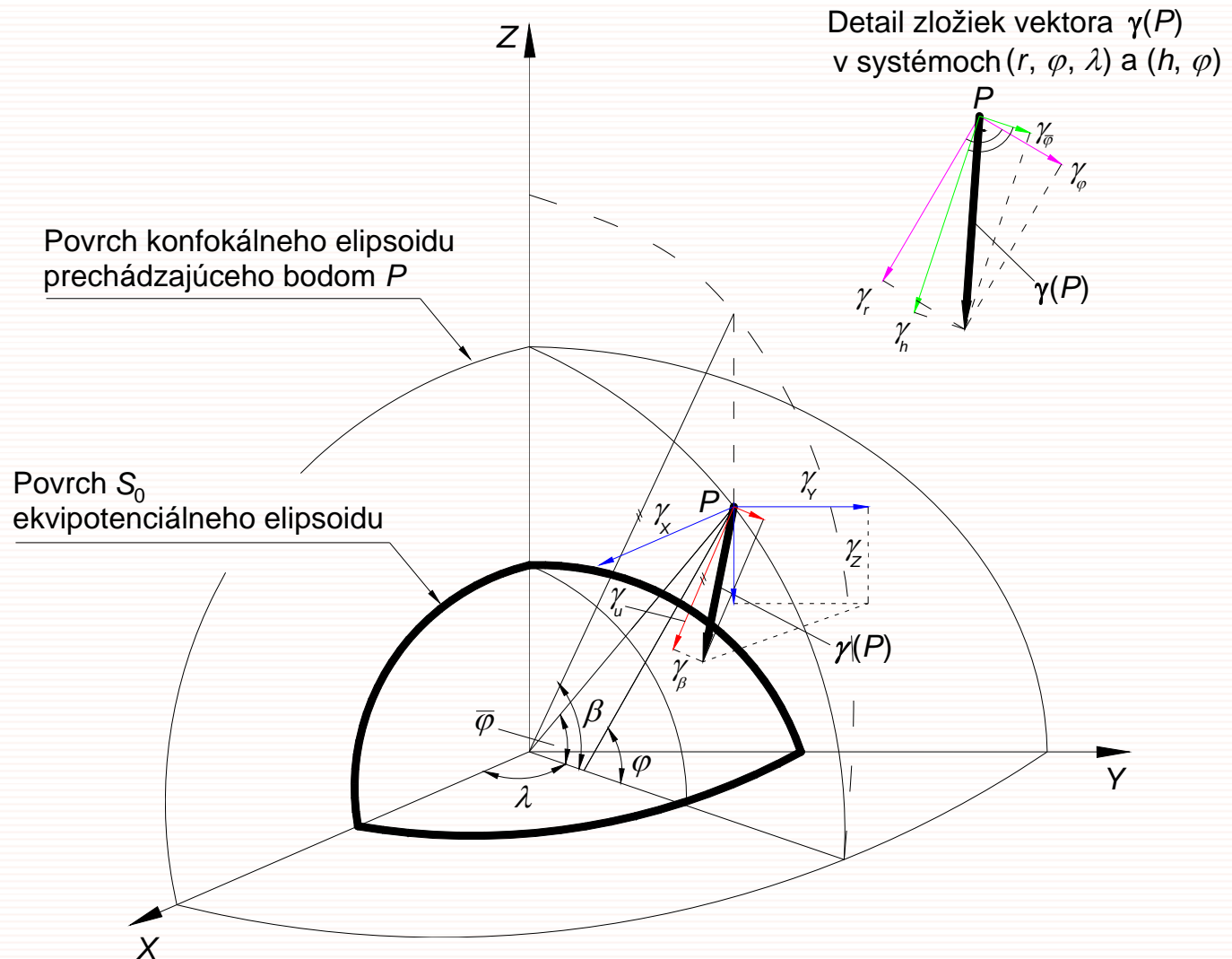
- Pre vektor normálneho tiažového zrýchlenia platí:

$$\gamma(P) = \text{grad}(U(P))$$

- Zložky vektora  $\gamma(P)$  je možné vyjadriť v súradnicových systémoch:
  - $(u, \beta, \lambda)_P$  – elipsoidických harmonických súradníc,
  - $(X, Y, Z)_P$  – karteziánskych súradníc,
  - $(r, \bar{\varphi}, \lambda)_P$  - sférických súradníc,
  - $(h, \varphi)_P$  - smere normály k elipsoidu.



# VEKTOR NORMÁLNEHO TIAŽOVÉHO ZRÝCHLENIA



# VEKTOR NORMÁLNEHO TIAŽOVÉHO ZRÝCHLENIA

- Vektor normálneho tiažového zrýchlenia v súradnicovom systéme  $(u, \beta, \lambda)_P$

$$\boldsymbol{\gamma}_{u,\beta,\lambda}(P) = \begin{bmatrix} \gamma_u \\ \gamma_\beta \\ \gamma_\lambda \end{bmatrix} = \begin{bmatrix} -\frac{1}{w} \left[ \frac{GM}{u^2 + E^2} + \frac{\omega^2 a^2 E}{u^2 + E^2} \frac{q'}{q_0} \left( \frac{1}{2} \sin^2 \beta - \frac{1}{6} \right) - \omega^2 u \cos^2 \beta \right] \\ -\frac{1}{w} \left[ -\frac{\omega^2 a^2}{\sqrt{u^2 + E^2}} \frac{q}{q_0} + \omega^2 \sqrt{u^2 + E^2} \right] \sin \beta \cos \beta \\ 0 \end{bmatrix}$$

- Vektor normálneho tiažového zrýchlenia v súradnicovom systéme  $(X, Y, Z)_P$

$$\boldsymbol{\gamma}_{X,Y,Z}(P) = \begin{bmatrix} \gamma_X \\ \gamma_Y \\ \gamma_Z \end{bmatrix} = \mathbf{R}(u, \beta, \lambda) \begin{bmatrix} \gamma_u \\ \gamma_\beta \\ \gamma_\lambda \end{bmatrix}$$

- Vektor normálneho tiažového zrýchlenia v súr. systéme  $(r, \bar{\varphi}, \lambda)_P$

$$\boldsymbol{\gamma}_{r,\bar{\varphi},\lambda}(P) = \begin{bmatrix} \gamma_r \\ \gamma_{\bar{\varphi}} \\ \gamma_\lambda \end{bmatrix} = \mathbf{R}(\bar{\varphi}, \lambda) \begin{bmatrix} \gamma_X \\ \gamma_Y \\ \gamma_Z \end{bmatrix}$$

- Vektor normálneho tiažového zrýchlenia v súr. systéme  $(h, \varphi)_P$

$$\boldsymbol{\gamma}_{h,\varphi}(P) = \begin{bmatrix} \gamma_h \\ \gamma_\varphi \end{bmatrix} = \mathbf{R}(\alpha) \begin{bmatrix} \gamma_r \\ \gamma_{\bar{\varphi}} \end{bmatrix}$$

# VEKTOR NORMÁLNEHO TIAŽOVÉHO ZRÝCHLENIA

- Tvary jednotlivých rotačných matic sú nasledovné:

$$\mathbf{R}(u, \beta, \lambda) = \begin{bmatrix} \frac{u}{w\sqrt{u^2 + E^2}} \cos \beta \cos \lambda & -\frac{1}{w} \sin \beta \cos \lambda & -\sin \lambda \\ \frac{u}{w\sqrt{u^2 + E^2}} \cos \beta \sin \lambda & -\frac{1}{w} \sin \beta \sin \lambda & \cos \lambda \\ \frac{1}{w} \sin \beta & \frac{u}{w\sqrt{u^2 + E^2}} \cos \beta & 0 \end{bmatrix}$$

$$\mathbf{R}(\bar{\varphi}, \lambda) = \begin{bmatrix} \cos \bar{\varphi} \cos \lambda & \cos \bar{\varphi} \sin \lambda & \sin \bar{\varphi} \\ -\sin \bar{\varphi} \cos \lambda & -\sin \bar{\varphi} \sin \lambda & \cos \bar{\varphi} \\ -\sin \lambda & \cos \lambda & 0 \end{bmatrix}$$

$$\mathbf{R}(\alpha) = \begin{bmatrix} -\cos \alpha & -\sin \alpha \\ -\sin \alpha & \cos \alpha \end{bmatrix}, \text{ kde } \alpha = \varphi - \bar{\varphi}$$

# PRENOS STREDNÝCH CHÝB V URČENÍ POLOHY BODU NA VYBRATÉ FYZIKÁLNE PARAMETRE NORMÁLNEHO TIAŽOVÉHO POĽA ZEME

- Kovariančná matica elipsoidických harmonických súradníc

$$\Sigma_{u,\beta,\lambda} = \mathbf{B}^T \Sigma_{X,Y,Z} \mathbf{B}$$

$$\mathbf{B}^T = \begin{bmatrix} \frac{\partial u}{\partial X} & \frac{\partial u}{\partial Y} & \frac{\partial u}{\partial Z} \\ \frac{\partial \beta}{\partial X} & \frac{\partial \beta}{\partial Y} & \frac{\partial \beta}{\partial Z} \\ \frac{\partial \lambda}{\partial X} & \frac{\partial \lambda}{\partial Y} & \frac{\partial \lambda}{\partial Z} \end{bmatrix}$$

$\Sigma_{X,Y,Z}$  - kovariančná matica určenej polohy bodu

## PRENOS STREDNÝCH CHÝB V URČENÍ POLOHY BODU NA VYBRATÉ FYZIKÁLNE PARAMETRE NORMÁLNEHO TIAŽOVÉHO POĽA ZEME

- Stredná chyba normálneho tiažového potenciálu:

$$\sigma_U(P) = \sqrt{\mathbf{a}_U^T \boldsymbol{\Sigma}_{u,\beta} \mathbf{a}_U}, \text{ kde}$$

$$\mathbf{a}_U = \left[ \frac{\partial U(u, \beta)}{\partial u} \quad \frac{\partial U(u, \beta)}{\partial \beta} \right]^T, \quad \boldsymbol{\Sigma}_{u,\beta} = \begin{bmatrix} \sigma_u^2 & \sigma_{u,\beta} \\ \sigma_{\beta,u} & \sigma_\beta^2 \end{bmatrix}.$$

- Obdobným spôsobom výpočet strednej chyby veľkosti vektora normálneho tiažového zrýchlenia:

$$\sigma_\gamma(P) = \sqrt{\mathbf{a}_\gamma^T \boldsymbol{\Sigma}_{u,\beta} \mathbf{a}_\gamma}$$

$$\mathbf{a}_\gamma = \left[ \frac{\partial \gamma(u, \beta)}{\partial u} \quad \frac{\partial \gamma(u, \beta)}{\partial \beta} \right]^T, \quad \boldsymbol{\Sigma}_{u,\beta} = \begin{bmatrix} \sigma_u^2 & \sigma_{u,\beta} \\ \sigma_{\beta,u} & \sigma_\beta^2 \end{bmatrix}.$$

# NUMERICKÝ EXPERIMENT

## • 1. modelová situácia

- Bod P na území Vysokých Tatier  $P(\varphi = 48^\circ, \lambda = 19^\circ, h = 1000 \text{ m}) = P(X = 4\,043\,403.283 \text{ m}, Y = 1\,392\,255.402 \text{ m}, Z = 4\,717\,619.475 \text{ m})$
- Stredné chyby určenia polohy bodu  $P$ :
  - Statická metóda (7 dňové meranie):  
 $\sigma_X = 2 \text{ mm}, \sigma_Y = 2 \text{ mm}, \sigma_Z = 4 \text{ mm},$
  - RTK metóda (10 sekundové meranie):  
 $\sigma_X = 20 \text{ mm}, \sigma_Y = 20 \text{ mm}, \sigma_Z = 60 \text{ mm}.$

## • 2. modelová situácia

- Body  $P_i(\varphi = \langle 0^\circ, 90^\circ \rangle, \lambda = \langle 0^\circ, 90^\circ \rangle, h = 0 \text{ m})$
- Stredné chyby určenia polohy bodov  $P_i$ :
  - Statická metóda (7 dňové meranie),
  - RTK metóda (10 sekundové meranie).

# NUMERICKÝ EXPERIMENT – 1. MODELOVÁ SITUÁCIA

## Statické meranie polohy

Tab. č. 1: Normálny tiažový potenciál, elipsoidické harmonické súradnice bodu  $P$  a ich stredné chyby pri stredných chybách geocentrických karteziánskych súradníc  $\sigma_X = 2 \text{ mm}$ ,  $\sigma_Y = 2 \text{ mm}$ ,  $\sigma_Z = 4 \text{ mm}$

$U \text{ [m}^2\cdot\text{s}^{-2}\text{]}$	$\sigma_U \text{ [m}^2\cdot\text{s}^{-2}\text{]}$	$u \text{ [m]}$	$\sigma_u \text{ [mm]}$
62627053.482	0.0320	6357753.822	3.3
$\beta \text{ [}^\circ\text{]}$	$\sigma_\beta \text{ [}^\circ\text{]}$	$\lambda \text{ [}^\circ\text{]}$	$\sigma_\lambda \text{ [}^\circ\text{]}$
47.904298112	$2.76 \times 10^{-8}$	19	$2.68 \times 10^{-8}$

## RTK meranie polohy

Tab. č. 2: Normálny tiažový potenciál, elipsoidické harmonické súradnice bodu  $P$  a ich stredné chyby pri stredných chybách geocentrických karteziánskych súradníc  $\sigma_X = 20 \text{ mm}$ ,  $\sigma_Y = 20 \text{ mm}$ ,  $\sigma_Z = 60 \text{ mm}$

$U \text{ [m}^2\cdot\text{s}^{-2}\text{]}$	$\sigma_U \text{ [m}^2\cdot\text{s}^{-2}\text{]}$	$u \text{ [m]}$	$\sigma_u \text{ [mm]}$
62627053.482	0.4565	6357753.822	46.6
$\beta \text{ [}^\circ\text{]}$	$\sigma_\beta \text{ [}^\circ\text{]}$	$\lambda \text{ [}^\circ\text{]}$	$\sigma_\lambda \text{ [}^\circ\text{]}$
47.904298112	$3.862 \times 10^{-7}$	19	$2.68 \times 10^{-7}$

# NUMERICKÝ EXPERIMENT – 1. MODELOVÁ SITUÁCIA

## Statické meranie polohy

Tab. č. 3: Veľkosť vektora normálneho tiažového zrýchlenia, jeho zložky a ich stredné chyby v jednotlivých súradnicových systémoch pri  $\sigma_X = 2 \text{ mm}$ ,  $\sigma_Y = 2 \text{ mm}$ ,  $\sigma_Z = 4 \text{ mm}$

<b>Elipsoidické harmonické súradnice <math>u, \beta, \lambda</math></b>			
$\gamma_{u,\beta,\lambda} [\text{m.s}^{-2}]$	$\gamma_u [\text{m.s}^{-2}]$	$\gamma_\beta [\text{m.s}^{-2}]$	$\gamma_\lambda [\text{m.s}^{-2}]$
9.805825573	-9.805825573	-0.000013240	0
$\sigma_{\gamma_{u,\beta,\lambda}} [\mu\text{Gal}]$	$\sigma_{\gamma_u} [\mu\text{Gal}]$	$\sigma_{\gamma_\beta} [\mu\text{Gal}]$	$\sigma_{\gamma_\lambda} [\mu\text{Gal}]$
1.01	1.01	0.00	0
<b>Geocentrické karteziánske súradnice <math>X, Y, Z</math></b>			
$\gamma_{X,Y,Z} [\text{m.s}^{-2}]$	$\gamma_X [\text{m.s}^{-2}]$	$\gamma_Y [\text{m.s}^{-2}]$	$\gamma_Z [\text{m.s}^{-2}]$
9.805825573	-6.203899101	-2.136173770	-7.287153953
$\sigma_{\gamma_{X,Y,Z}} [\mu\text{Gal}]$	$\sigma_{\gamma_X} [\mu\text{Gal}]$	$\sigma_{\gamma_Y} [\mu\text{Gal}]$	$\sigma_{\gamma_Z} [\mu\text{Gal}]$
1.01	0.64	0.22	0.75
<b>Sférické súradnice <math>r, \varphi, \lambda</math></b>			
$\gamma_{r,\varphi,\lambda} [\text{m.s}^{-2}]$	$\gamma_r [\text{m.s}^{-2}]$	$\varphi [\text{m.s}^{-2}]$	$\gamma_\lambda [\text{m.s}^{-2}]$
9.805825573	-9.805770812	-0.032771203	0
$\sigma_{\gamma_{r,\varphi,\lambda}} [\mu\text{Gal}]$	$\sigma_{\gamma_r} [\mu\text{Gal}]$	$\sigma_{\gamma_\varphi} [\mu\text{Gal}]$	$\sigma_{\gamma_\lambda} [\mu\text{Gal}]$
1.01	0.69	0.67	0.29



# NUMERICKÝ EXPERIMENT – 1. MODELOVÁ SITUÁCIA

## RTK meranie polohy

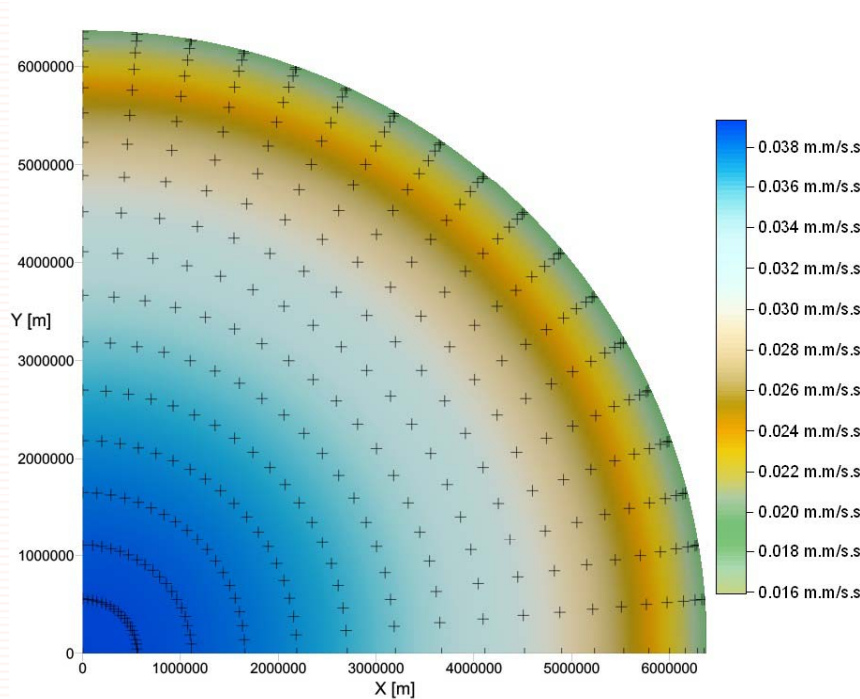
Tab. č. 4: Veľkosť vektora normálneho tiažového zrýchlenia, jeho zložky a ich stredné chyby v jednotlivých súradnicových systémoch pri  $\sigma_X = 20 \text{ mm}$ ,  $\sigma_Y = 20 \text{ mm}$ ,  $\sigma_Z = 60 \text{ mm}$

<b>Elipsoidické harmonické súradnice <math>u, \beta, \lambda</math></b>			
$\gamma_{u,\beta,\lambda} [\text{m.s}^{-2}]$	$\gamma_u [\text{m.s}^{-2}]$	$\gamma_\beta [\text{m.s}^{-2}]$	$\gamma_\lambda [\text{m.s}^{-2}]$
9.805825573	-9.805825573	-0.000013240	0
$\sigma_{\gamma_{u,\beta,\lambda}} [\mu\text{Gal}]$	$\sigma_{\gamma_u} [\mu\text{Gal}]$	$\sigma_{\gamma_\beta} [\mu\text{Gal}]$	$\sigma_{\gamma_\lambda} [\mu\text{Gal}]$
14.36	14.36	0.06	0
<b>Geocentrické karteziánske súradnice <math>X, Y, Z</math></b>			
$\gamma_{X,Y,Z} [\text{m.s}^{-2}]$	$\gamma_X [\text{m.s}^{-2}]$	$\gamma_Y [\text{m.s}^{-2}]$	$\gamma_Z [\text{m.s}^{-2}]$
9.805825573	-6.203899101	-2.136173770	-7.287153953
$\sigma_{\gamma_{X,Y,Z}} [\mu\text{Gal}]$	$\sigma_{\gamma_X} [\mu\text{Gal}]$	$\sigma_{\gamma_Y} [\mu\text{Gal}]$	$\sigma_{\gamma_Z} [\mu\text{Gal}]$
14.36	9.08	3.13	10.67
<b>Sférické súradnice <math>r, \varphi, \lambda</math></b>			
$\gamma_{r,\varphi,\lambda} [\text{m.s}^{-2}]$	$\gamma_r [\text{m.s}^{-2}]$	$\varphi [\text{m.s}^{-2}]$	$\gamma_\lambda [\text{m.s}^{-2}]$
9.805825573	-9.805770812	-0.032771203	0
$\sigma_{\gamma_{r,\varphi,\lambda}} [\mu\text{Gal}]$	$\sigma_{\gamma_r} [\mu\text{Gal}]$	$\sigma_{\gamma_\varphi} [\mu\text{Gal}]$	$\sigma_{\gamma_\lambda} [\mu\text{Gal}]$
14.36	9.81	9.61	4.18

# NUMERICKÝ EXPERIMENT – 2. MODELOVÁ SITUÁCIA

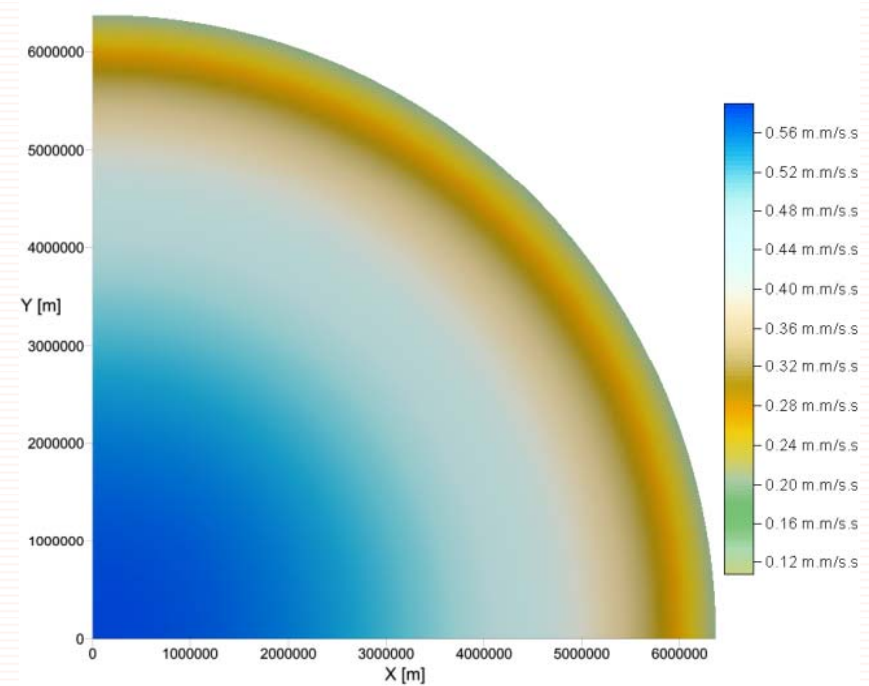
Stredné chyby *normálneho tiažového potenciálu* pri  $\sigma_X(P) = 2$  mm,  $\sigma_Y(P) = 2$  mm,  $\sigma_Z(P) = 4$  mm (vľavo), a pri  $\sigma_X(P) = 20$  mm,  $\sigma_Y(P) = 20$  mm,  $\sigma_Z(P) = 60$  mm (vpravo) *na povrchu ekvipotenciálneho elipsoidu*

## Statické meranie polohy



$$\sigma_U \in (0.016 \text{ m}^2 \cdot \text{s}^{-2} - 0.036 \text{ m}^2 \cdot \text{s}^{-2})$$

## RTK meranie polohy

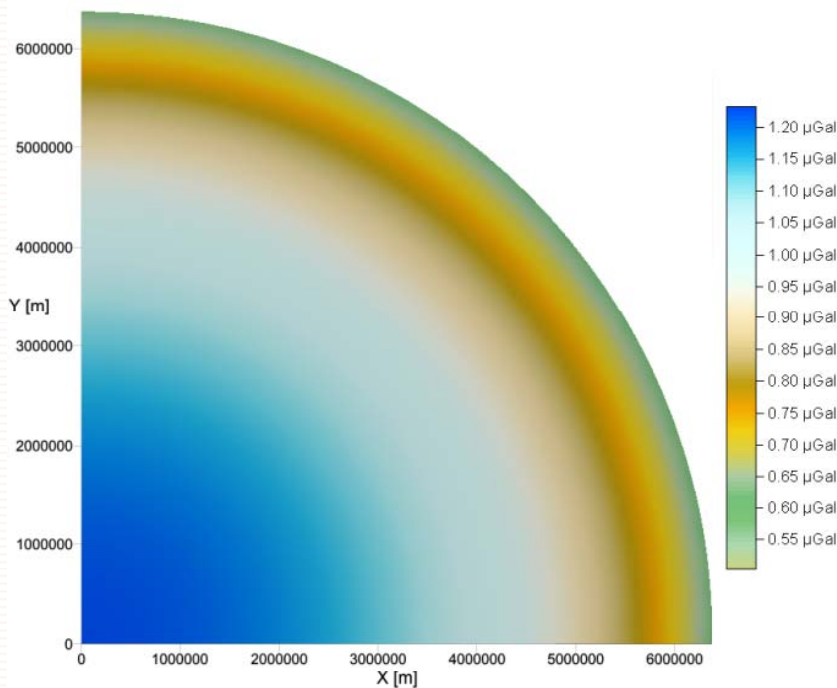


$$\sigma_U \in (0.12 \text{ m}^2 \cdot \text{s}^{-2} - 0.56 \text{ m}^2 \cdot \text{s}^{-2})$$

# NUMERICKÝ EXPERIMENT – 2. MODELOVÁ SITUÁCIA

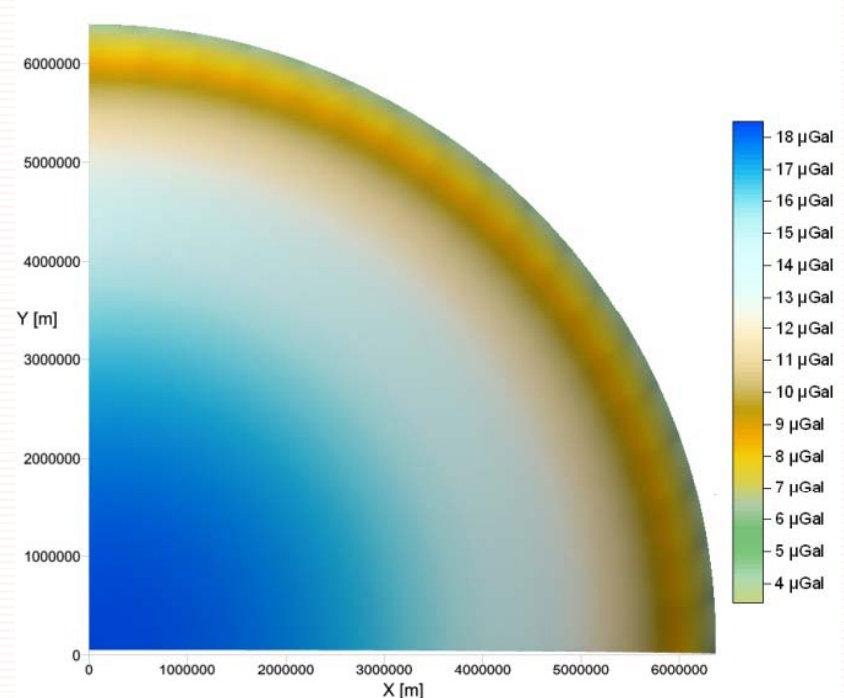
Stredné chyby *veľkosti vektora normálneho tiažového zrýchlenia* pri  $\sigma_X(P) = 2$  mm,  $\sigma_Y(P) = 2$  mm,  $\sigma_Z(P) = 4$  mm (vľavo), a pri  $\sigma_X(P) = 20$  mm,  $\sigma_Y(P) = 20$  mm,  $\sigma_Z(P) = 60$  mm (vpravo) *na povrchu ekvipotenciálneho elipsoidu*

## Statické meranie polohy



$$\sigma_\gamma \in (0.55 \mu\text{Gal} - 1.20 \mu\text{Gal})$$

## RTK meranie polohy



$$\sigma_\gamma \in (4 \mu\text{Gal} - 18 \mu\text{Gal})$$

# Závery pre prax

- Normálny tiažový potenciál

- Poruchový potenciál

$$T(P) = W(P) - U(P)$$

- Presnosť určenia  $W(P)$

- Gravimetria + presná nivelácia: cca  $0.05 \text{ m}^2 \cdot \text{s}^{-2}$
- Gravimetria + technická nivelácia: cca  $0.5 \text{ m}^2 \cdot \text{s}^{-2}$

- Presnosť určenia  $U(P)$

- Statické meranie polohy:  $0.0320 \text{ m}^2 \cdot \text{s}^{-2}$
- RTK meranie polohy:  $0.4565 \text{ m}^2 \cdot \text{s}^{-2}$

# Závery pre prax

- Normálne tiažové zrýchlenie

- Porucha tiažového zrýchlenia

$$\delta g(P) = g(P) - \gamma(P)$$

- Presnosť určenia  $g(P)$

- Absolútne gravimetrické meranie: 0.5 – 1  $\mu\text{Gal}$
- Relatívne podrobné gravimetrické meranie: 10 – 30  $\mu\text{Gal}$

- Presnosť určenia  $\gamma(P)$

- Statické meranie polohy: 1  $\mu\text{Gal}$
- RTK meranie polohy: 15  $\mu\text{Gal}$

ĎAKUJEM ZA POZORNOSŤ

---